网络出版时间: 2021 - 05 - 14 15:56 网络出版地址: https://kns.cnki.net/kcms/detail/34.1065. R. 20210513.1448.002. html

小檗碱调节 AKT/NF→κB 信号通路对高糖诱导的 足细胞损伤、凋亡和迁移的影响

汪佳佳」胡亚琴」 吴 昊 唐丽琴 2 魏 伟

摘要 目的 探究小檗碱(BBR)对高糖环境下足细胞的保 护作用及其机制。方法 取指数生长期的足细胞进行实验, 将细胞分为五组: 正常组 ,高糖组 ,BBR 30、60、90 μmol/L 组。Annexin FITC/PI 双染法检测足细胞凋亡率,高内涵成 像系统计算细胞数量 ,Transwell 和细胞划痕实验检测其迁移 能力 ,Western blot 检测蛋白激酶 B/核转录因子 κB(AKT/ NF-κB) 信号通路相关蛋白、细胞促凋亡蛋白(Bim) 和足细胞 标志性蛋白 WT-1、Podocin、desmin 的表达水平。结果 与正 常组相比 Annexin FITC/PI 双染法结果显示 高糖组足细胞 凋亡率上升(P < 0.01); 高内涵细胞成像系统显示足细胞数 量减少(P < 0.01); Transwell 结果显示迁移至下室的足细胞 数增加(P<0.01);细胞划痕实验结果显示划痕愈合率上升 (P<0.01); Western blot 结果显示 高糖组足细胞中 p-AKT、 p-p65、p-IκBα、Bim、desmin 蛋白表达水平升高(P<0.01), WT-1、Podocin 蛋白表达水平降低(P<0.01)。与高糖组相 比 BBR 给药后足细胞凋亡率下降(P<0.05);不同浓度 BBR 给药组的足细胞数量增多(P<0.01);迁移至下室的足 细胞数有所减少(P < 0.05);划痕愈合率下降(P < 0.01);另 外 BBR 给药降低了 p-AKT、p-p65、p-IκBα、Bim、desmin 蛋白 表达水平(P<0.05) 同时升高了WT-I、Podocin 蛋白表达水 平(P < 0.01)。结论 BBR 可能通过 AKT/NF-KB 信号通路 改善高糖诱导的足细胞损伤、抑制足细胞凋亡、减弱足细胞 迁移能力。

关键词 小檗碱; 糖尿病肾病; 足细胞; 蛋白激酶 B; 核因子 κB ; 信号通路

中图分类号 R 285.5

文献标志码 A 文章编号 1000 - 1492(2021)06 - 0845 - 06 doi: 10.19405/j. cnki. issn1000 - 1492. 2021.06.002

糖尿病肾病(diabetic nephropathy, DN)是糖尿

2021 -03 -05 接收

基金项目: 国家自然科学基金(编号: 81773955)

作者单位:1 安徽医科大学临床药理研究所 合肥 230032

2 中国科学技术大学附属第一医院 合肥 230001

作者简介: 汪佳佳 ,女 ,硕士研究生;

唐丽琴,女,博士,主任药师,教授,博士生导师,责任作者, E-mail: tangliqin@ ustc. edu. cn;

魏 伟 ,男 ,博士 ,教授 ,博士生导师 ,责任作者 ,E-mail: wwei@ ahmu. edu. cn

病的微血管并发症之一。DN 的发生与炎症因子释 放、脂糖代谢紊乱、氧化应激等因素相关[1]。足细 胞是肾小球的主要组成部分,可维持肾小球的滤过 功能^[2]。足细胞损伤、凋亡和异常迁移是 DN 发展 早期的一个重要标志,深入研究其损伤机制是研究 DN 发生发展的重要环节。核因子 κB(nuclear factor κB ,NF-κB) 的激活与细胞凋亡、炎症免疫等密切相 关^[3] 蛋白激酶 B(protein kinase B ,AKT) 受环境刺 激磷酸化时,可促进 NF-κB p65 的磷酸化入核、核因 子抑制蛋白 α(inhibitor of NF-κB α, IκBα) 激酶活 化[4]、炎症反应的发生、细胞促凋亡蛋白(Bcl-2 interacting mediator of cell death, Bim) 异常上升。 AKT/NF-κB 信号通路的激活可导致足细胞损伤 加 重肾脏病变[5]。小檗碱(berberine ,BBR) 又名黄连 素 其药理作用广泛 包括降血糖、降血脂和抗炎等 , 对糖尿病具有一定的治疗作用[6]。研究[7]表明 BBR 能够缓解 DN 的足细胞损伤。该文研究了 BBR 对足细胞的保护作用及其与 AKT/NF-κB 信号通路 的关系,为临床上对 DN 的防治提供新的思路。

1 材料与方法

1.1 材料

- 1.1.1 细胞株 小鼠肾小球足细胞株(货号: BNCC 337685) 购自北京北纳创联生物技术研究院,由中国医学科学院基础医学研究所建系。
- 1.1.2 药物 BBR(货号: BW 50137) 购自北京北纳 创联生物技术研究所 经高效液相色谱法检测其纯度 为 98.37%。精密称取 BBR 粉末 55.08 g 加入 1.820 ml~0.9% 氯化钠溶液混匀 加热、涡旋至完全溶解 配制成浓度为 $9\times10^4~\mu mol/L$ 的 BBR 储备液 $0.22~\mu m$ 无菌过滤器过滤后于冰箱 $-20~^{\circ}$ 保存。使用前加热溶解 稀释到所需浓度即可用于实验。
- 1.1.3 试剂 Annexin FITC/PI apoptosis kit 细胞凋亡试剂盒(货号: AP101-100-kit) 购自杭州联科生物技术股份有限公司; StarSignal 化学发光检测试剂盒(货号: E171-01) 购自上海康朗生物科技有限公司; RPMI 1640 液体培养基(货号: SH30809. 1) 购自上

海江林生物科技有限公司; 抗 AKT 抗体(货号: 4691S)、抗 p-AKT 抗体(货号: 4060S)、抗 p-p65 抗体(货号: 3033S)、抗 p65 抗体(货号: 8242S)、抗 p-IκBα 抗体(货号: 2859S)、抗 IκBα 抗体(货号: 9242S)、抗 Bim 抗体(货号: 2933) 购自美国 Cell Signaling Technology 公司; 抗足细胞抑癌基因(Wilm's tumor gene-I, WT-I) 抗体(货号: sc-I92)、抗肾小球足细胞裂隙膜蛋白(podocyte slid membrane protein, Podocin) 抗体(货号: sc-21009) 购自美国 Santa Cruz Biotechnology 公司。

1.1.4 仪器 OLYMPUS CKX31 型倒置显微镜为日本奥林巴斯有限公司产品; Image Xpress Micro4型高内涵细胞成像系统为美国 Molecular Devecies公司产品; FC500型贝克曼流式细胞仪为美国贝克曼库尔特公司产品; Image Quant Las 4000 mini型化学发光成像分析仪为美国 GEHealthcare Life Sciences公司产品。

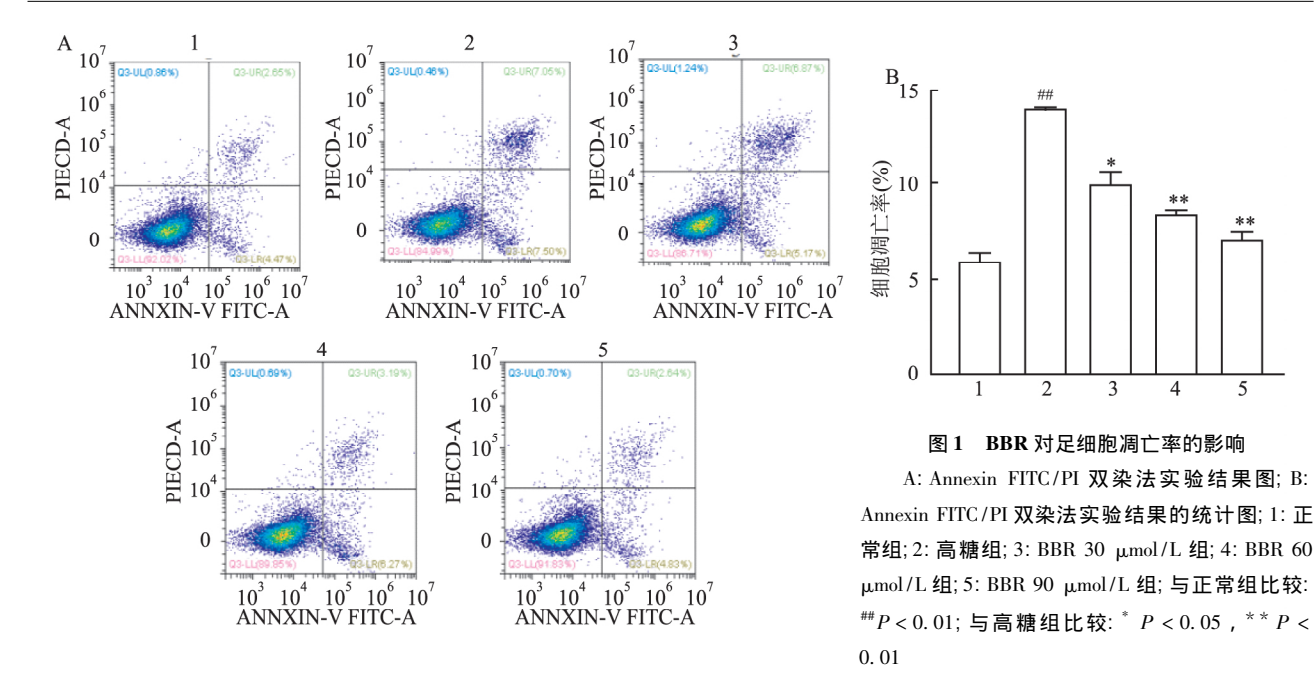
1.2 方法

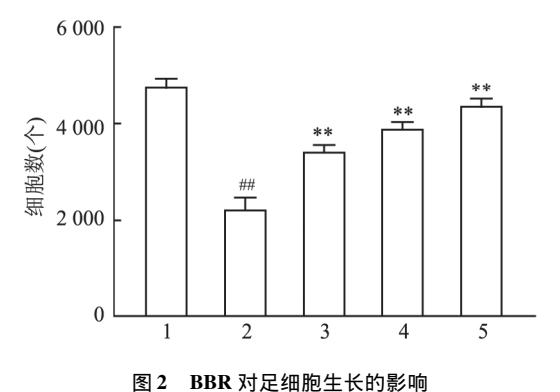
- 1.2.1 细胞培养 取出 -80 ℃冰箱或液氮中冷冻保存的细胞 于 37 ℃水浴锅中解冻融化后离心 ,用配制好的细胞培养基(RPMI 1640 基础培养基 + 10% 血清 + 1% 双抗 + 0.2% γ —干扰素) 重悬后转移至细胞培养瓶 ,于 5% CO、、37 ℃细胞培养箱中培养。
- 1.2.2 Annexin FITC/PI 双染法检测细胞凋亡 取 6 孔板 ,每孔加入 1×10^6 个/ml 足细胞的单细胞悬液 2 ml ,贴壁后将其设为五组 ,分别为正常组(葡萄糖浓度为 11.1 mmol/L)、高糖组(葡萄糖浓度为 30 mmol/L) 和不同浓度 BBR 给药组(BBR 30 60 90 μ mol/L 组) 按组分别加糖或给药后培养 24 h 不含 EDTA 的胰酶消化离心 ,收集细胞后 ,采用 Annexin V-FITC/PI 凋亡检测试剂盒进行实验 ,于流式细胞 仪上检测各组细胞凋亡率。
- 1.2.3 高内涵细胞成像系统检测细胞增殖 取 96 孔板 将足细胞制备成单细胞悬液,计数后每孔种 3×10^4 个/ml 的细胞悬液 $100~\mu$ l,待细胞贴壁后分组加糖或给药 24~h 后弃去上清液,预冷 PBS 洗去死细胞,经过 4% 多聚甲醛固定、DAPI 染核等步骤后上机。高内涵细胞成像系统计算各组足细胞数量。1.2.4 细胞迁移(Transwell)实验 取出 $24~\lambda$ 机中的小室,下室分别加入 $500~\mu$ l 的含 $15\%~\epsilon$ FBS 的 RP-MI $1640~\epsilon$ 培养基,分组和加药同 $1.2.2~\epsilon$,再将 Transwell 小室放入对应的孔中,上室每孔接种含 $5\%~\epsilon$ FBS 的 RPMI $1640~\epsilon$ 培养基、 $1 \times 10^3~\epsilon$ 个ml 的单个足细胞悬液 $200~\mu$ l $37~\epsilon$ 培养箱培养 24~h 后取出小

- 室 放入含 0.1% 结晶紫的 0.9% 氯化钠溶液中染色 ρ .9% 氯化钠溶液清洗 2次,仔细擦去黏附于小室内壁的细胞,使用倒置显微镜观察结果并拍摄留存。随机选取 5个视野,分别计算细胞数。
- 1.2.5 细胞迁移(划痕)实验 在6孔板背面水平划出6条平行的直线(每孔均匀地穿过两条直线),将细胞接种于6孔板中,待细胞长至孔板的80%以上时在孔中均匀地划出与背面直线垂直的两条直线,PBS 洗去死细胞后,分别刺激和给药同1.2.2,于0、24 h 在显微镜下观察、拍照并计算划痕的面积。
- 1.2.6 Western blot 检测相关蛋白表达水平 将足细胞消化制备成单细胞悬液 ,计数 ,以每孔约 1×10^8 个细胞种于 6 孔板 ,分组及加药同 1.2.2 ,培养 24 h 后 ,用 PBS 洗去死细胞及杂质 将 150 μ l 含 1% PMSF 和 1% 磷酸酶抑制剂的 RIPA 细胞裂解液加入 孔板中 4% 裂解 30 min ,收集于 1.5 ml EP 管并离心 ,所提取的蛋白在上清液中 加入蛋白上样缓冲溶液煮沸后得到蛋白样本 ,进行聚丙烯酰胺凝胶电泳 ,分别孵育 AKT、p-AKT、p65、p-p65、I κ B α 、p-I κ B α 、Bim、WT-I、Podocin、足 细胞 结 蛋 白(podocyte desmin ,desmin)对应抗体 ,最后用化学发光成像分析仪进行检测。
- 1.3 统计学处理 使用 SPSS 16.0 软件进行分析,实验数据均以 $\bar{x} \pm s$ 表示,多组间比较采用方差分析 (ANOVA),两组之间比较采用 t 检验,以 P < 0.05 为差异有统计学意义。

2 结果

- 2.1 BBR 对足细胞凋亡的影响 与正常组相比, 高糖组足细胞凋亡率上升, 差异有统计学意义($F = 57.850 \ P < 0.01$); 与高糖组相比, BBR $30 \times 60 \times 90 \ \mu mol/L$ 给药组能使足细胞的凋亡率下降, 差异有统计学意义($F = 75.594 \ P < 0.05$), 且随着 BBR 浓度的增大, 其降低凋亡率的能力也逐渐上升。见图 1。2.2 BBR 对足细胞增殖数量的影响 与正常组相比, 高糖组足细胞数量减少, 差异有统计学意义($F = 267.701 \ P < 0.01$); 与高糖组相比, BBR $30 \times 60 \times 90 \ \mu mol/L$ 组足细胞数量逐渐增加, 差异有统计学意义($F = 349.779 \ P < 0.01$)。见图 2。
- **2.3 BBR** 对足细胞迁移能力的影响 与正常组相比 高糖组迁移至下室的足细胞增多 差异有统计学意义(F = 116.326 P < 0.01); BBR 30、60、90 μ mol/L组迁移至下室的细胞数逐渐下降 与高糖组相比,





1: 正常组; 2: 高糖组; 3: BBR 30 μmol/L 组; 4: BBR 60 μmol/L 组; 5: BBR 90 μmol/L 组; 与正常组比较: ##P < 0.01; 与高糖组比较: **P < 0.01

BBR 给药组迁移至下室的细胞数明显减少 差异有统计学意义(F=153.166,P<0.05)。见图 3A。与正常组相比 高糖组划痕愈合率有所增加 差异有统计学意义(F=177.807,P<0.01); BBR 30、60、90 μ mol/L 组划痕愈合率逐渐降低 ,与高糖组相比 ,BBR 给药组划痕愈合率降低 ,异常迁移的足细胞数有所减少 ,差异有统计学意义(F=231.058,P<0.01)。见图 3B。

2.4 BBR 对高糖刺激后的足细胞相关蛋白表达的影响 Western blot 结果显示 ,与正常组相比 ,高糖组足细胞中的 AKT、p65、IκBα 磷酸化水平升高 ,Bim 蛋白表达上升 , p-AKT/AKT、p-p65/p-65、p-IκBα/IκBα、Bim/β-actin 上升 ,差异有统计学意义 (F=13.978、17.776、14.283、120.821 ,P<0.01);与高糖组相比 ,不同浓度 BBR 给药组 AKT、p65、

IκBα 磷酸化水平降低 ,Bim 蛋白表达下降 ,差异有统计学意义($F = 14.971 \times 23.701 \times 15.500 \times 82.618$,P < 0.05)。见图 4。

2.5 BBR 对足细胞标志性蛋白的影响 与正常组相比 高糖组足细胞中的 WT-1、Podocin 蛋白表达下降,desmin 蛋白表达上升,差异有统计学意义(F=123.743、21.447、172.166,P<0.01);与高糖组相比 不同浓度 BBR 给药组 WT-1、Podocin 蛋白表达上升,desmin 蛋白表达下降,差异有统计学意义(F=164.146、18.717、210.587 P<0.01)。见图 5。

3 讨论

足细胞是肾小球的主要组成部分,它与肾小球 基底膜、内皮细胞共同构成了肾小球的滤过屏障 保 证了肾小球的滤过功能[8]。而高血糖环境会导致 足细胞损伤、足突融合消退,足细胞异常迁移、从基 底膜上脱落[9]。足细胞的损伤、丢失又能进一步加 重肾脏的病变。本研究是以足细胞为研究对象 高 糖组的建立是借助于 30 mmol/L 的葡萄糖刺激 24 h 产生,该方法的可行性已有研究[10]证实。本次研究 结果显示 相比于高糖组,不同浓度的 BBR 给药组 能够降低足细胞凋亡率 增强足细胞增殖能力 緩解 足细胞异常迁移。说明 BBR 给药能有效抑制高糖 刺激下的足细胞凋亡、减弱足细胞迁移能力、改善足 细胞功能异常。刘青等[11]研究表明不同浓度(30、 60、90 μmol/L) 的 BBR 给药能不同程度地发挥足细 胞保护作用 与本次实验的研究结果一致 且为本次 实验 BBR 的浓度选择提供了理论依据。

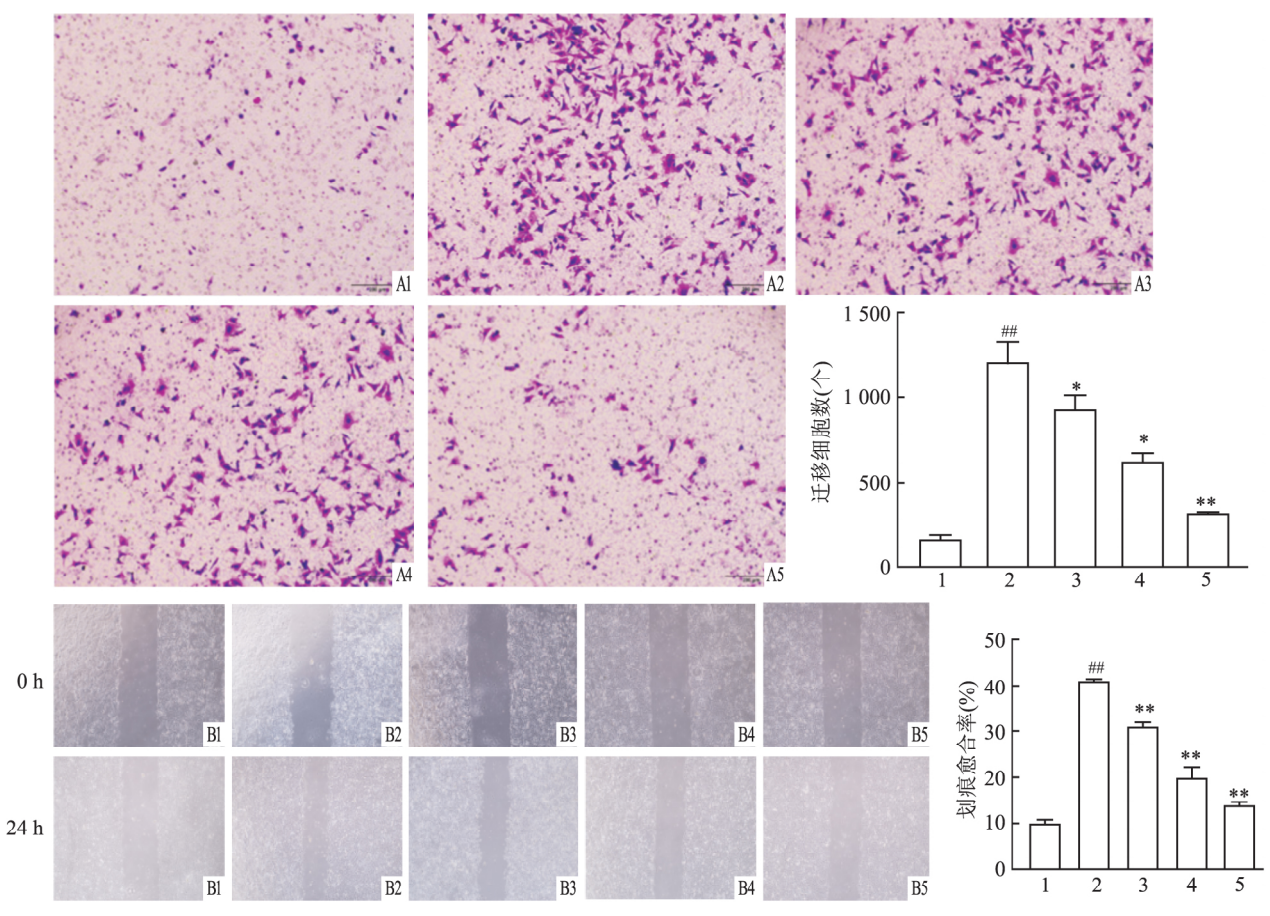


图 3 BBR 对足细胞迁移能力的影响

A: Transwell 检测迁移细胞数 结晶紫染色 × 200; B: 细胞划痕实验检测划痕愈合率 × 200; 1: 正常组; 2: 高糖组; 3: BBR 30 μmol/L 组; 4: BBR 60 μmol/L 组; 5: BBR 90 μmol/L 组; 与正常组比较: $^{\#}P$ < 0. 01; 与高糖组比较: $^{*}P$ < 0. 05 , $^{**}P$ < 0. 01

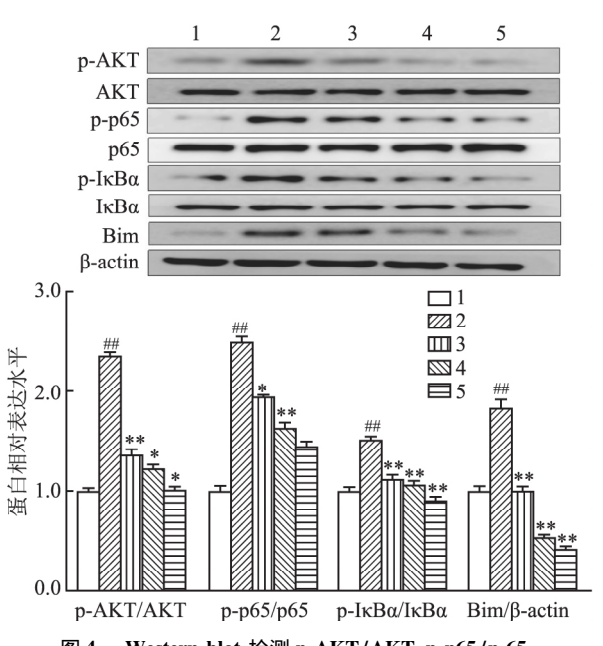


图 4 Western blot 检测 p-AKT/AKT、p-p65/p-65、 p-IκΒα/IκΒα and Bim/β-actin 蛋白表达

1: 正常组; 2: 高糖组; 3: BBR 30 μ mol/L 组; 4: BBR 60 μ mol/L 组; 5: BBR 90 μ mol/L 组; 与正常组比较: $^{##}P$ < 0. 01; 与高糖组比较: *P < 0. 05 , $^{**}P$ < 0. 01

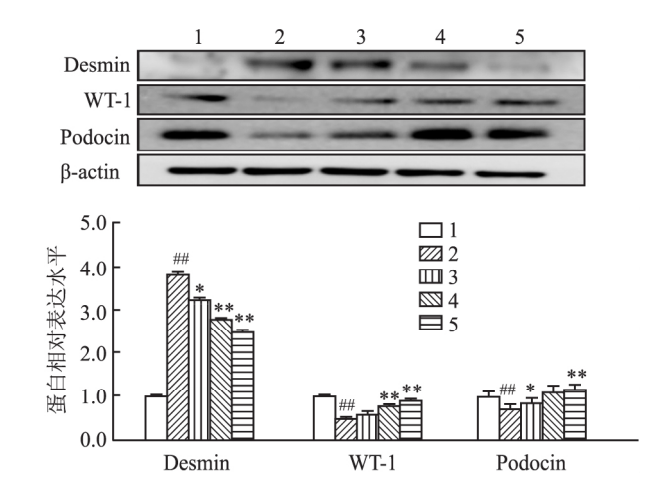


图 5 Western blot 检测 desmin、WT-1、Podocin 蛋白表达 1: 正常组; 2: 高糖组; 3: BBR 30 μ mol/L 组; 4: BBR 60 μ mol/L 组; 5: BBR 90 μ mol/L 组; 与正常组比较: **P<0.01; 与高糖组比较: *P<0.05 , **P<0.01

Podocin、WT-1 和 desmin 都属于足细胞标志蛋白, Podocin 和 WT-1 是细胞骨架的重要分子结构,在足细胞损伤时会发生缺失。而 desmin 是细胞骨

架的中间丝蛋白 正常条件下不表达或低表达 但在 足细胞功能受损时大量表达。本次研究结果显示, 相比于模型组 BBR 给药组能够升高 Podocin、WT-1 蛋白的表达 降低 desmin 蛋白的表达 说明 BBR 给 药能够改善足细胞标志性蛋白的异常表达 缓解足 细胞损伤。NF-κB 家族有 5 个成员: RelA(p65)、 RelB、c-Rel、p50 和 p52。正常情况下,NF-kB 二聚 体通过协同 IkB 定位于细胞质中,其包括 3 种经典 的蛋白 $I_{\kappa}B_{\alpha}$ 、 $I_{\kappa}B_{\beta}$ 和 $I_{\kappa}B_{\epsilon}^{[12]}$ 。当 $I_{\kappa}B_{\alpha}$ 被免疫蛋 白酶降解时会释放活化的 p65 ,并促使其向细胞核 内转化 有研究表明 AKT 的磷酸化会促进 NF-kB 信 号通路的激活 进而促进细胞凋亡[13]。Bim 是一种 细胞凋亡蛋白,会在凋亡的细胞中大量表达,激活 NF-κB 信号通路促细胞凋亡的同时 Bim 蛋白异常 上升[14]。本研究显示,相比于模型组,BBR 给药组 能有效降低高糖刺激下 AKT、p65、IκBα 的磷酸化水 平,同时降低细胞凋亡蛋白 Bim 的表达水平,说明 BBR 可能通过 AKT/NF-xB 信号通路改善足细胞凋 亡。Wang et al [15] 研究表明 NF-kB 信号通路与足细 胞凋亡密切相关 与本次研究结果一致。

综上所述 高糖刺激可以通过调节 AKT/NF-κB信号通路下调异常表达的 Bim 蛋白 从而抑制足细胞凋亡、改善足细胞损伤、减弱足细胞迁移能力以发挥足细胞保护作用。

参考文献

- [1] Di Vincenzo A, Tana C, El Hadi H, et al. Antioxidant, anti-in-flammatory, and metabolic properties of tocopherols and tocotrienols: clinical implications for vitamin E supplementation in diabetic kidney disease [J]. Int J Mol Sci, 2019, 20(20): 5101.
- [2] 黄琼芳,赵天娇,苏扬妮,等. 芍药苷 6´-0-苯磺酸酯对高胰岛 素诱导足细胞功能损伤的影响[J]. 安徽医科大学学报 2021, 56(2):267-71.

- [3] Oeckinghaus A, Hayden MS, Ghosh S. Crosstalk in NF-κB signaling pathways [J]. Nat Immunol, 2011, 12(8): 695 708.
- [4] Xiao D, Yang R, Gong L, et al. Plantamajoside inhibits high glucose-induced oxidative stress, inflammation, and extracellular matrix accumulation in rat glomerular mesangial cells through the inactivation of Akt/NF-κB pathway [J]. J Recept Signal Transduct Res, 2020, 41(1):45-52.
- [5] 马 玉 杨雯雯 范 哲 海. 褪黑素对高糖刺激系膜细胞 NF- κ B 与 TGFβ/Smad3 的影响[J]. 安徽医科大学学报 ,2019 ,54 (6):840 –5.
- [6] Wang Y, Yan A, Li S, et al. Efficacy and safety of berberine in the treatment of type 2 diabetes with insulin resistance: protocol for a systematic review [J]. Medicine, 2019, 98(35): e16947.
- [7] 王盈盈 刘 青 唐丽琴 等. 小檗碱对高糖诱导足细胞功能及相关蛋白表达的影[J]. 中国药理学通报 2018,34(8):1158-63.
- [8] Carney E F. Diabetic nephropathy: restoring podocyte proteostasis in DN[J]. Nat Rev Nephrol, 2017, 13(9): 514.
- [9] Nagata M. Podocyte injury and its consequences [J]. Kidney Int, 2016, 89(6): 1221 – 30.
- [10] Li R ,Dong W ,Zhang S ,et al. Septin 7 mediates high glucose-induced podocyte apoptosis [J]. Biochem Biophys Res Commun , 2018 ,506(3): 522-8.
- [11] 刘 青,汪佳佳,胡亚琴,等. 小檗碱调节 PI3K/AKT/F0X01/ Bim 信号通路改善高糖诱导的足细胞损伤[J]. 中国药理学通 报,2020,36(3): 329-34.
- [12] O'Dea E , Hoffmann A. NF-kappaB signaling [J]. Wiley Interdiscip Rev Syst Biol Med , 2009 , 1(1): 107 15.
- [13] Zhu J, Shi L, Du G, et al. Upregulated SET promotes cell survival through activating Akt/NF-κB signal in colorectal carcinoma
 [J]. Cancer Manag Res, 2020, 12: 4735 45.
- [14] Sun F R , Wang S L , Wang M , et al. Simvastatin induces apoptosis of nasopharyngeal carcinoma cells through NF-κB signaling pathway [J]. Eur Rev Med Pharmacol Sci , 2020 , 24(12): 6726 34.
- [15] Wang L , Zhang L , Hou Q , et al. Triptolide attenuates proteinuria and podocyte apoptosis *via* inhibition of NF-kB/GADD45B [J]. Sci Rep , 2018 , 8(1): 10843.

Effects of berberine on podocyte injury, apoptosis and migration induced by high glucose through regulating AKT/NF-kB signaling pathway

Wang Jiajia ,Hu Yaqin ,Wu Hao ,et al

(Institute of Clinical Pharmacology Anhui Medical University Hefei 230032)

Abstract *Objective* To study the protective effect of berberine (BBR) on podocytes in high glucose environment and to discuss its mechanism. *Methods* The exponential growth stage of the glomerular podocyte was selected. The podocyte were divided into 5 groups, including normal control group, high-glucose model group and BBR was given in concentrations of 30,60 and 90 µmol/L. Annexin FITC/PI double staining was used to detect the apoptosis

网络出版时间: 2021 - 05 - 14 14:53 网络出版地址: https://kns.cnki.net/kcms/detail/34.1065. R. 20210513.1448.003. html

AKT/mTOR 信号通路介导神经病理性疼痛对 大鼠心肌缺血再灌注损伤的保护作用

李玉为 涨巧云 曹亚红 汪家友 孝 锐

摘要 目的 探讨神经病理性疼痛对大鼠心肌缺血灌注损伤的影响及蛋白激酶 B(AKT)/哺乳动物雷帕霉素靶蛋白(mTOR)信号通路参与该过程的调节机制。方法 SD 大鼠42 只,体质量 250~320 g(10 周龄) 采用随机数字表法分为3组: 对照组(Con组)、心肌缺血再灌注损伤组(NP+I/R组)、神经病理性痛+心肌缺血再灌注损伤组(NP+I/R组)。采用坐骨神经慢性缩窄损伤(CCI)法制备神经病理性痛模型,术前、术后第3、7、14天测定各组大鼠机械缩足反应阈(MWT)和热缩足潜伏期(TWL),术后第14天结扎左冠状动脉前降支 缺血30 min 再灌注120 min 建立心肌缺血再灌注损伤模型。术毕取心脏制作切片,检测梗死区(IS)和缺血危险区(AAR),计算心肌梗死面积。Western blot 法检测心肌组织

2021 - 03 - 19 接收

基金项目: 安徽省高校科学研究项目(编号: KJ2019A0283)

作者单位:安徽医科大学第二附属医院麻醉与围术期医学科 麻醉与

围术期医学安徽普通高校重点实验室,合肥 230601

作者简介: 李玉为 ,女 ,硕士研究生;

李 锐,男,主任医师,硕士生导师,责任作者,E-mail: lravd@ sina.com AKT/mTOR 信号通路和自噬相关的 AKT、mTOR 和微管相关蛋白 1 轻链 3(LC3)蛋白表达。结果 与 Con 组相比,I/R组和 NP + I/R组 CCI 术后第 3.7.14 天的 MWT 和 TWL 降低,I/R组 IS/AAR增加,p-AKT/AKT和 p-mTOR/mTOR比值降低,LC3-II / I 比值增加,差异有统计学意义(P < 0.05)。与 I/R组相比,NP + I/R组 IS/AAR降低,p-AKT/AKT和 p-mTOR/mTOR比值增加,LC3-II / I 比值降低,差异有统计学意义(P < 0.05)。结论 神经病理性疼痛减轻大鼠心肌缺血再灌注损伤,其机制可能与神经病理性疼痛调控AKT/mTOR信号通路抑制细胞过度自噬有关。

关键词 神经病理性疼痛;心肌缺血再灌注损伤;心肌保护中图分类号 R 541.4

文献标志码 A 文章编号 1000 - 1492(2021)06 - 0850 - 06 doi: 10.19405/j. cnki. issn1000 - 1492.2021.06.003

心肌缺血是缺血性心脏病患者发病和死亡的主要原因之一,往往需要溶栓或经皮冠状动脉介入治疗,冠状动脉缺血一段时间后再灌注会进一步加重心肌损伤。缺血预处理可以有效减轻心肌缺血再灌

rate of podocytes. High-intension imaging system was used to detect cell proliferation, podocyte migration was measured by transwell and cell scratch assay, Western blot detected the expression of AKT/NF-KB signaling pathway related proteins, apoptotic protein Bim, and the podocyte marker proteins WT-1, Podocin and desmin. **Results**Compared with the normal group, the results of Annexin FITC/PI double staining showed that the apoptosis rate

Compared with the normal group , the results of Annexin FITC/PI double staining showed that the apoptosis rate of podocytes in the high glucose group increased (P < 0.01); The high-content imaging system showed that the number of podocytes in the high glucose group decreased (P < 0.01); Transwell showed that the number of podocytes migrate ability increased in the high glucose group (P < 0.01); The cell scratch showed that the scratch healing rate of the high glucose group increased (P < 0.01); Western blot showed that the expression levels of p-AKT , p-p65 , p-IκB α , Bim , and desmin protein in the podocytes of the high glucose increased (P < 0.01) , and the expression of WT-I and Podocin proteins decreased (P < 0.01). Compared with the high glucose group , the apoptosis rate of podocytes decreased after add BBR(P < 0.05); the number of podocytes increased in the different concentrations of BBR(P < 0.01); the number of podocyte migration was lower(P < 0.05); Scratch healing rate decreased (P < 0.01); In addition , BBR reduced the protein expression levels of p-AKT , p-p65 , p-IκB α , Bim and desmin (P < 0.05) , the expression level of WT-I and Podocin protein increased (P < 0.01). Conclusion BBR may improve the podocyte injury , inhibit the podocyte apoptosis , and weaken the podocyte migration ability induced by high glucose through regulating AKT/NF-κB signaling pathway.

Key words berberine; diabetic nephropath; podocyte; AKT; NF-KB; signaling pathway